

FIG. 1.

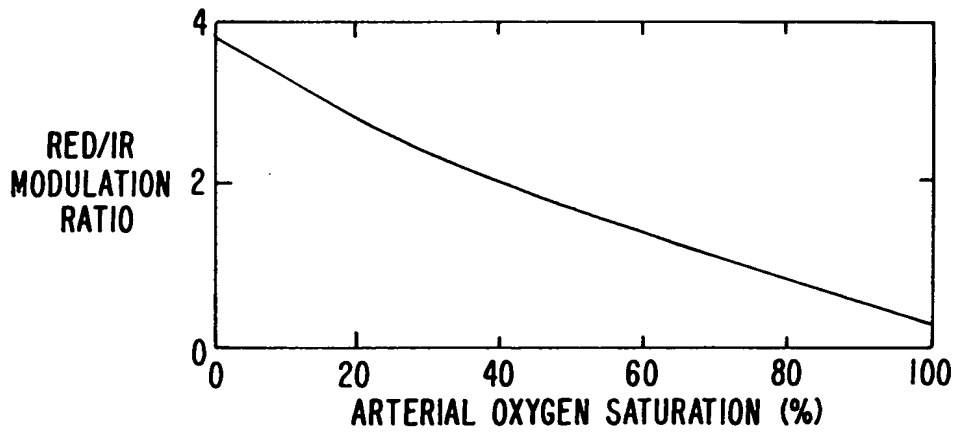


FIG. 2.

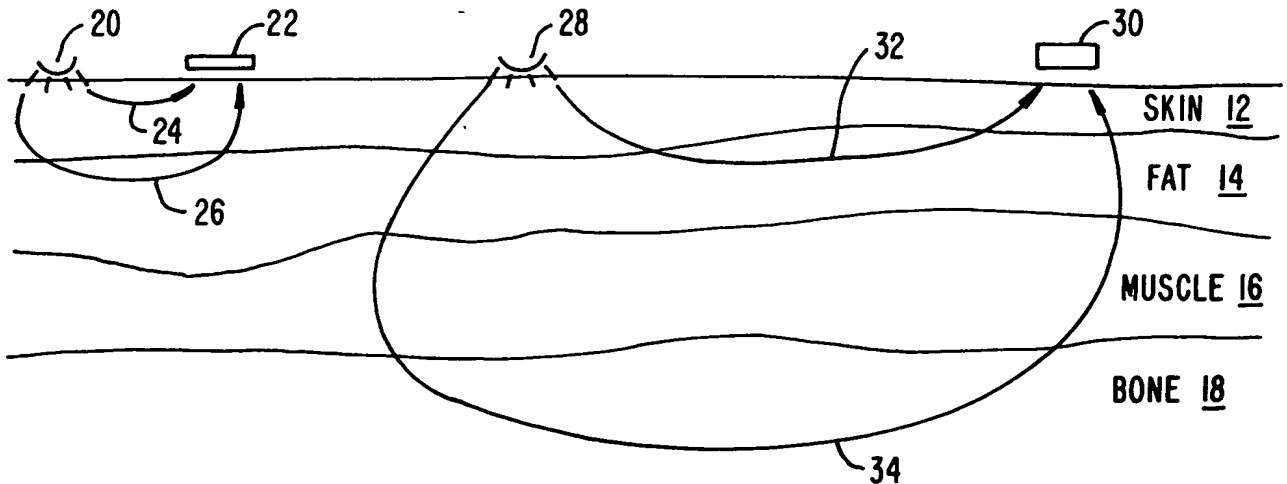


FIG. 3.

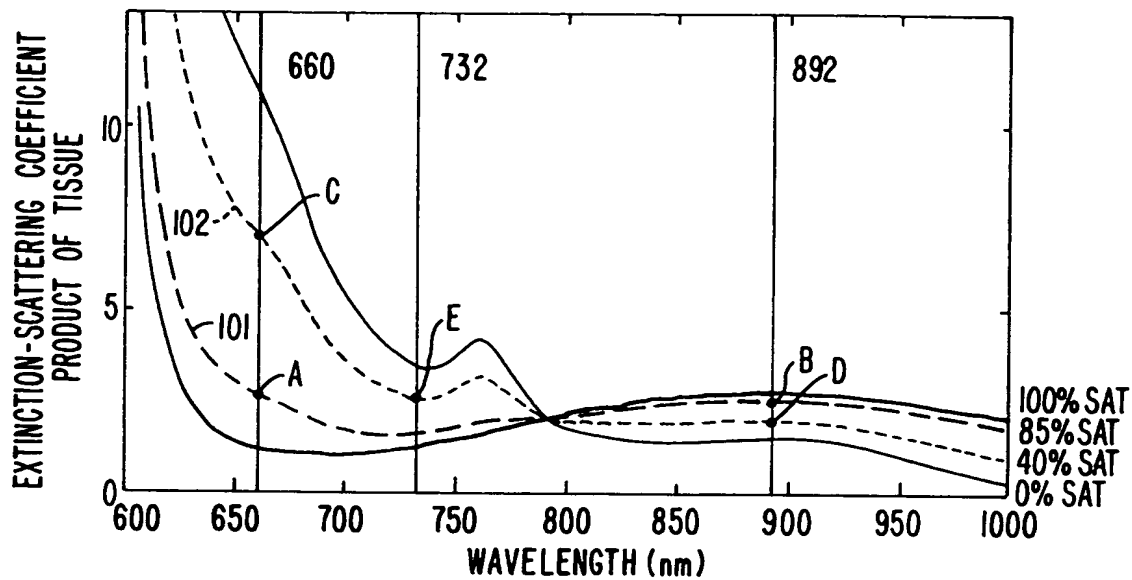


FIG. 4A.

EXTINCTION-SCATTERING COEFFICIENT PRODUCT (L/mole-cm ²)	660 nm	732 nm	892 nm
$\mu's \cdot \beta_{HbO2}$	1.23	1.31	2.82
$\mu's \cdot \beta_{85\%}$	2.67	1.63	2.64
$\mu's \cdot \beta_{40\%}$	7.00	2.58	1.84
$\mu's \cdot \beta_{Hb}$	10.85	3.41	1.59

FIG. 4B.

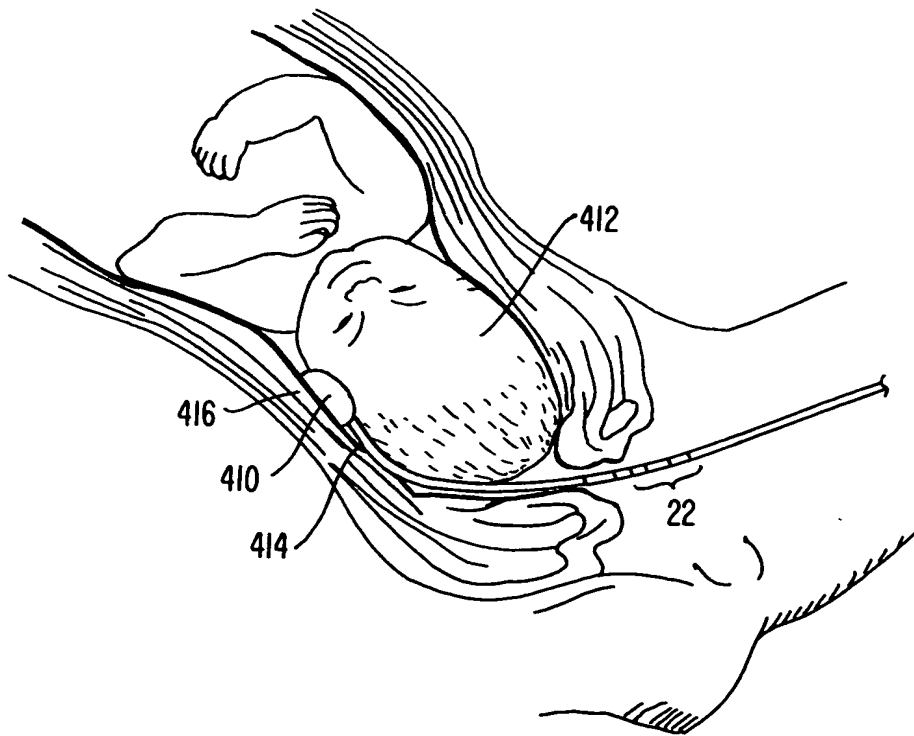


FIG. 5.

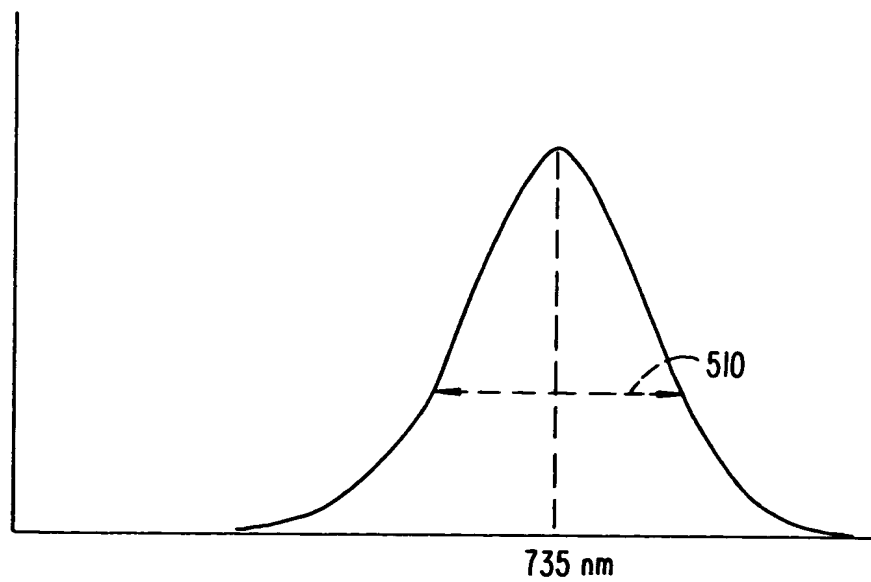


FIG. 6.

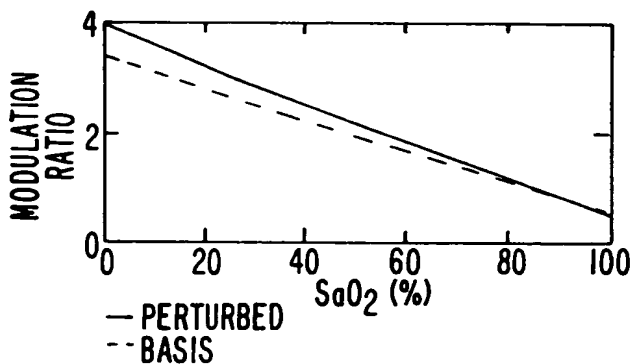


FIG. 7A.

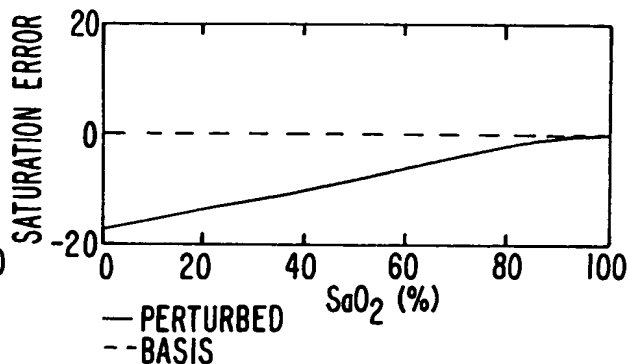


FIG. 7B.

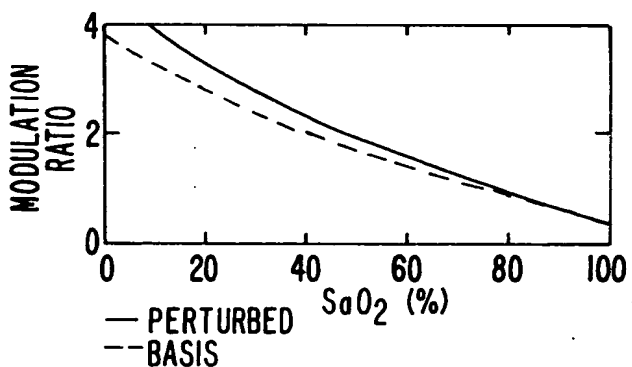


FIG. 8A.

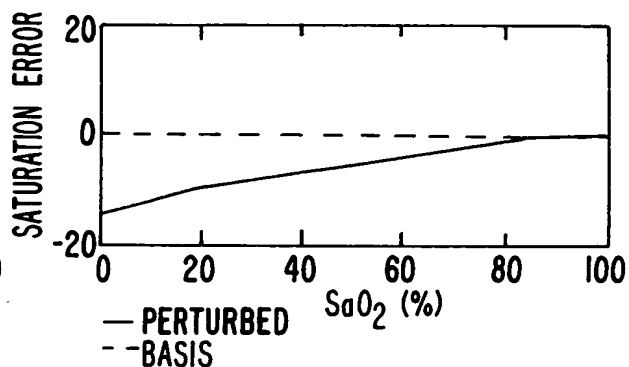


FIG. 8B.

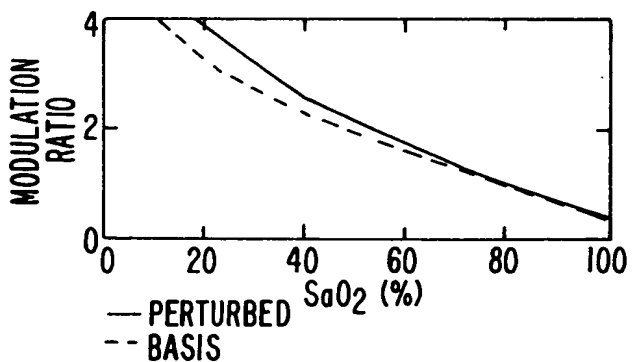


FIG. 9A.

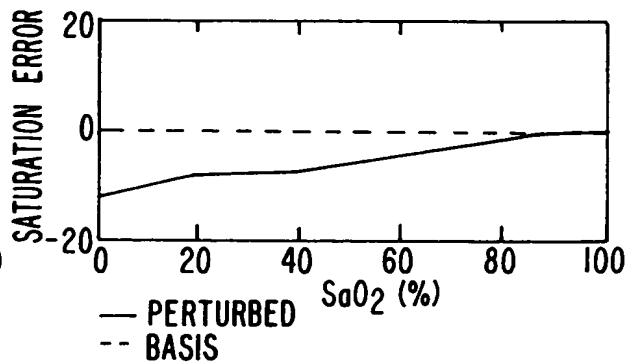


FIG. 9B.

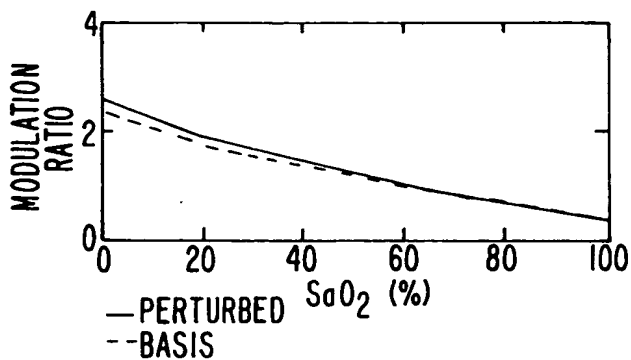


FIG. 10A.

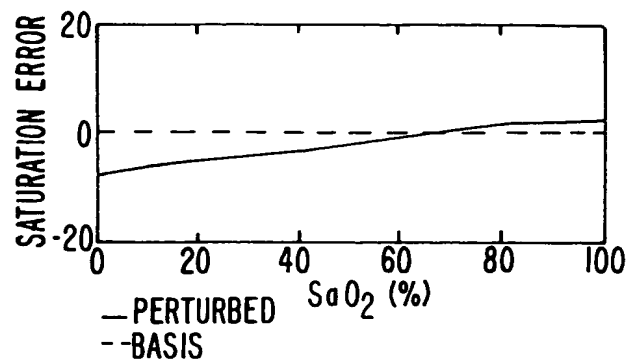


FIG. 10B.

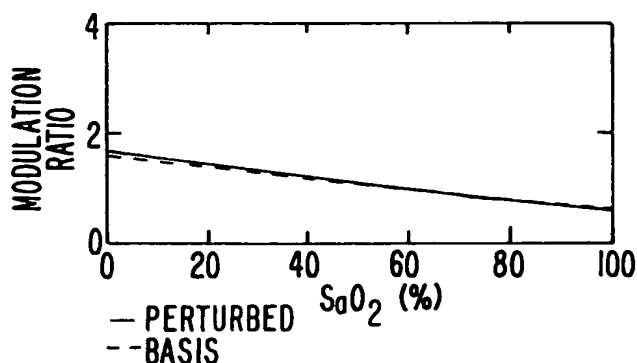


FIG. 11A.

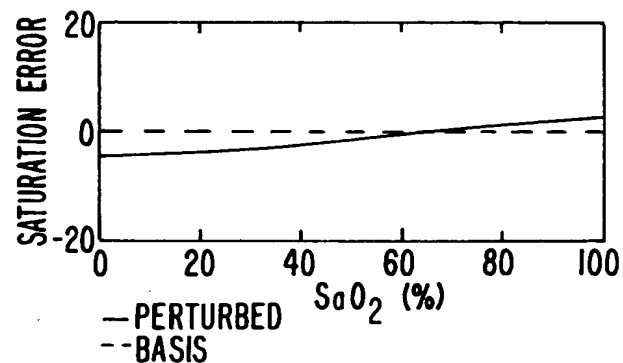


FIG. 11B.

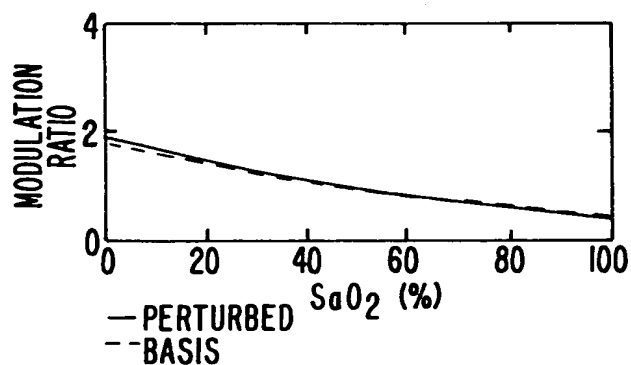


FIG. 12A.

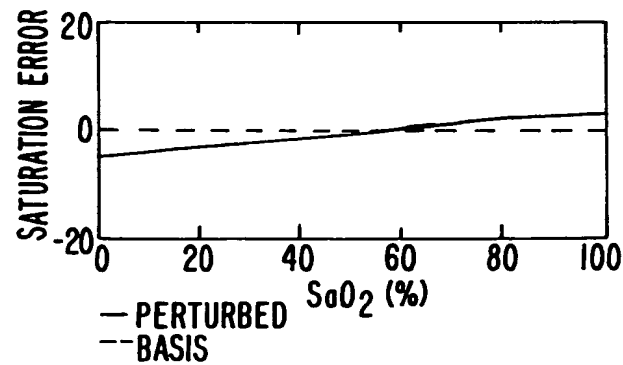


FIG. 12B.

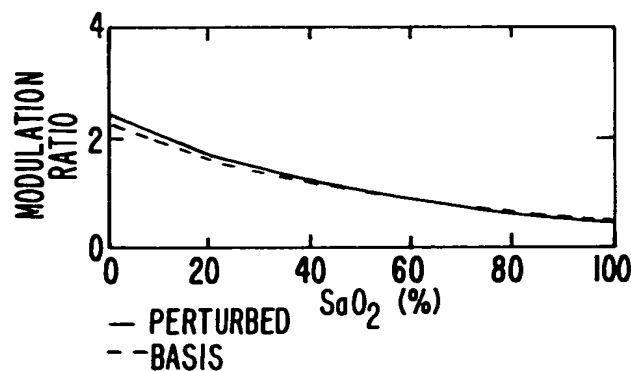


FIG. 13A.

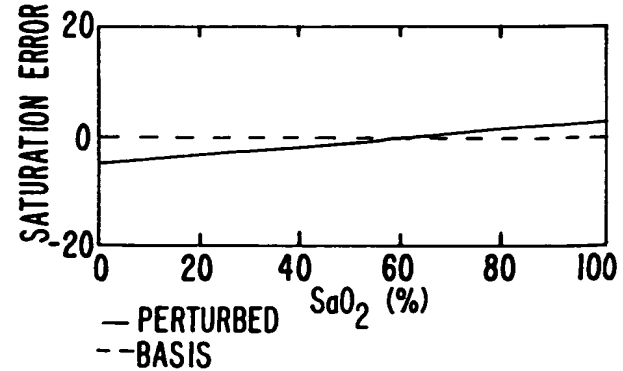


FIG. 13B.

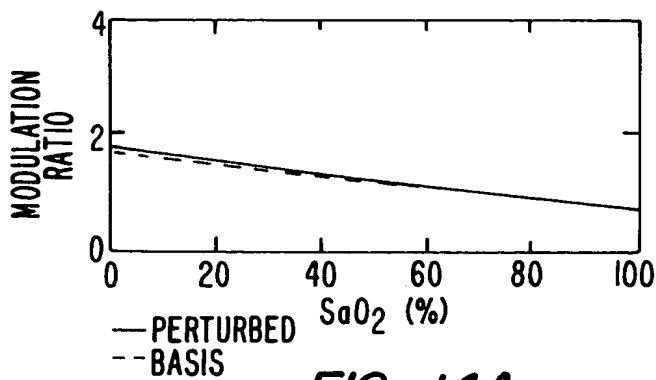


FIG. 14A.

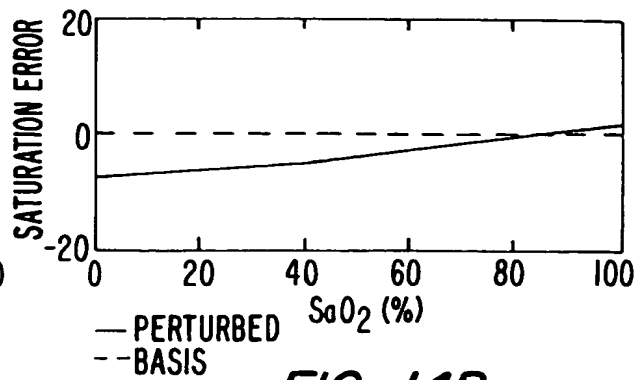


FIG. 14B.

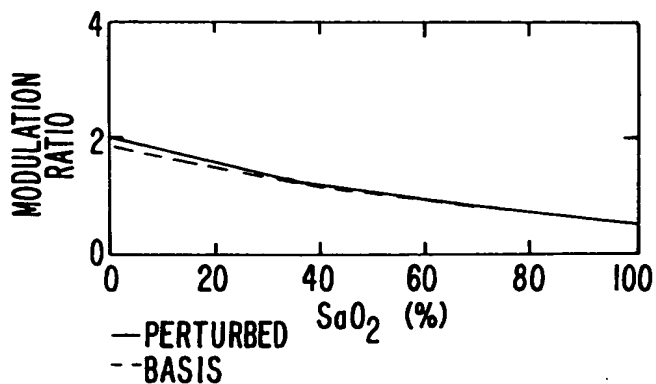


FIG. 15A.

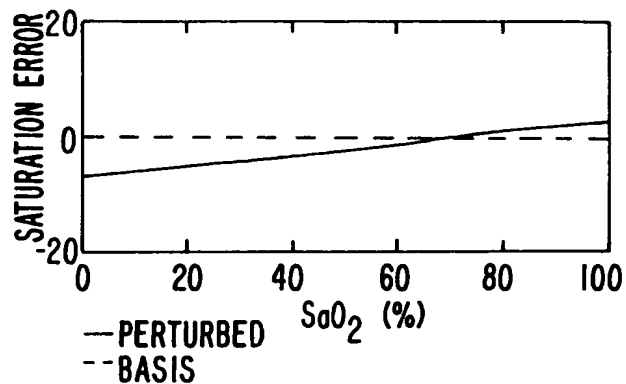


FIG. 15B.

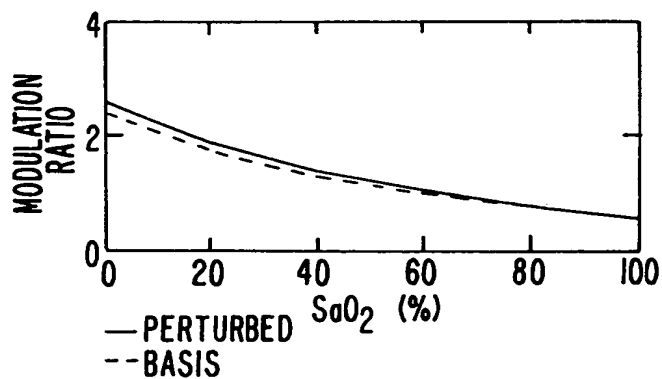


FIG. 16A.

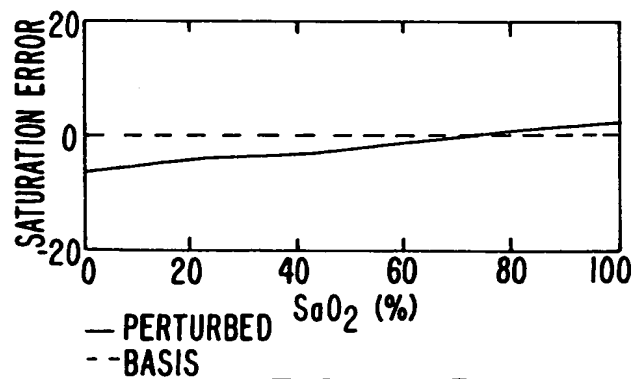


FIG. 16B.

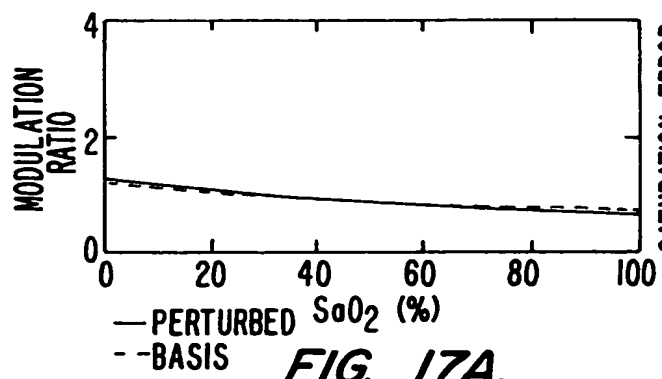


FIG. 17A.

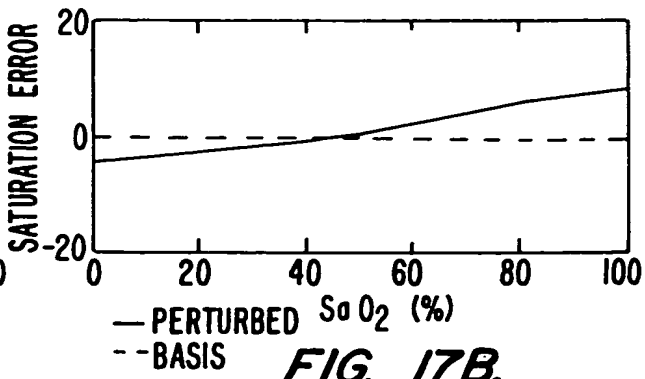


FIG. 17B.

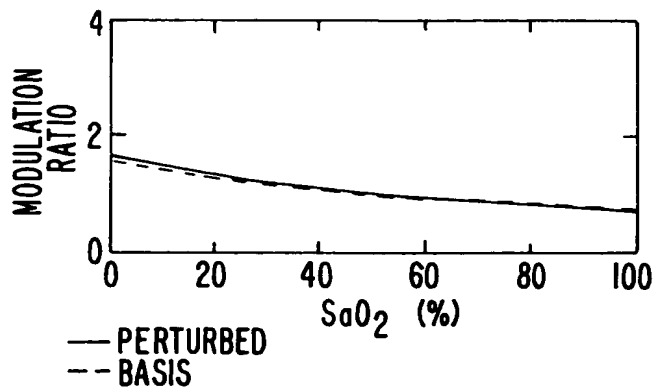


FIG. 18A.

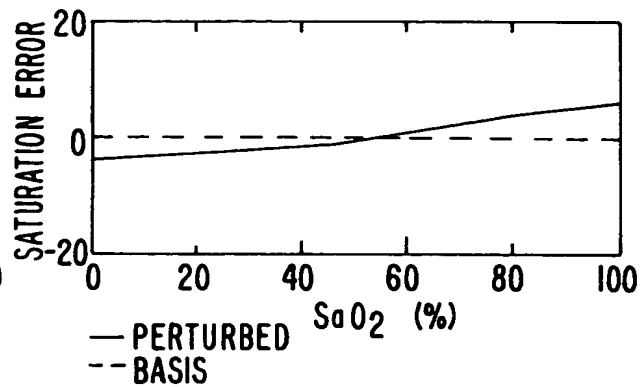


FIG. 18B.

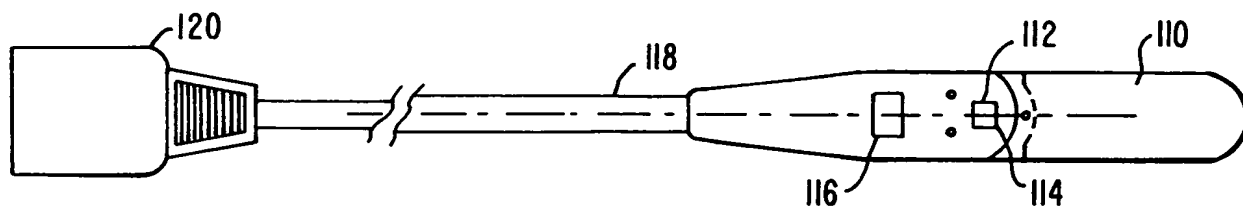


FIG. 24.

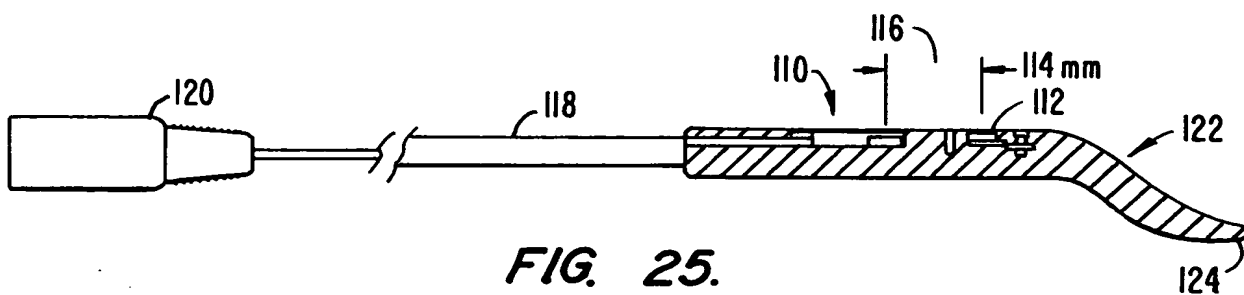


FIG. 25.

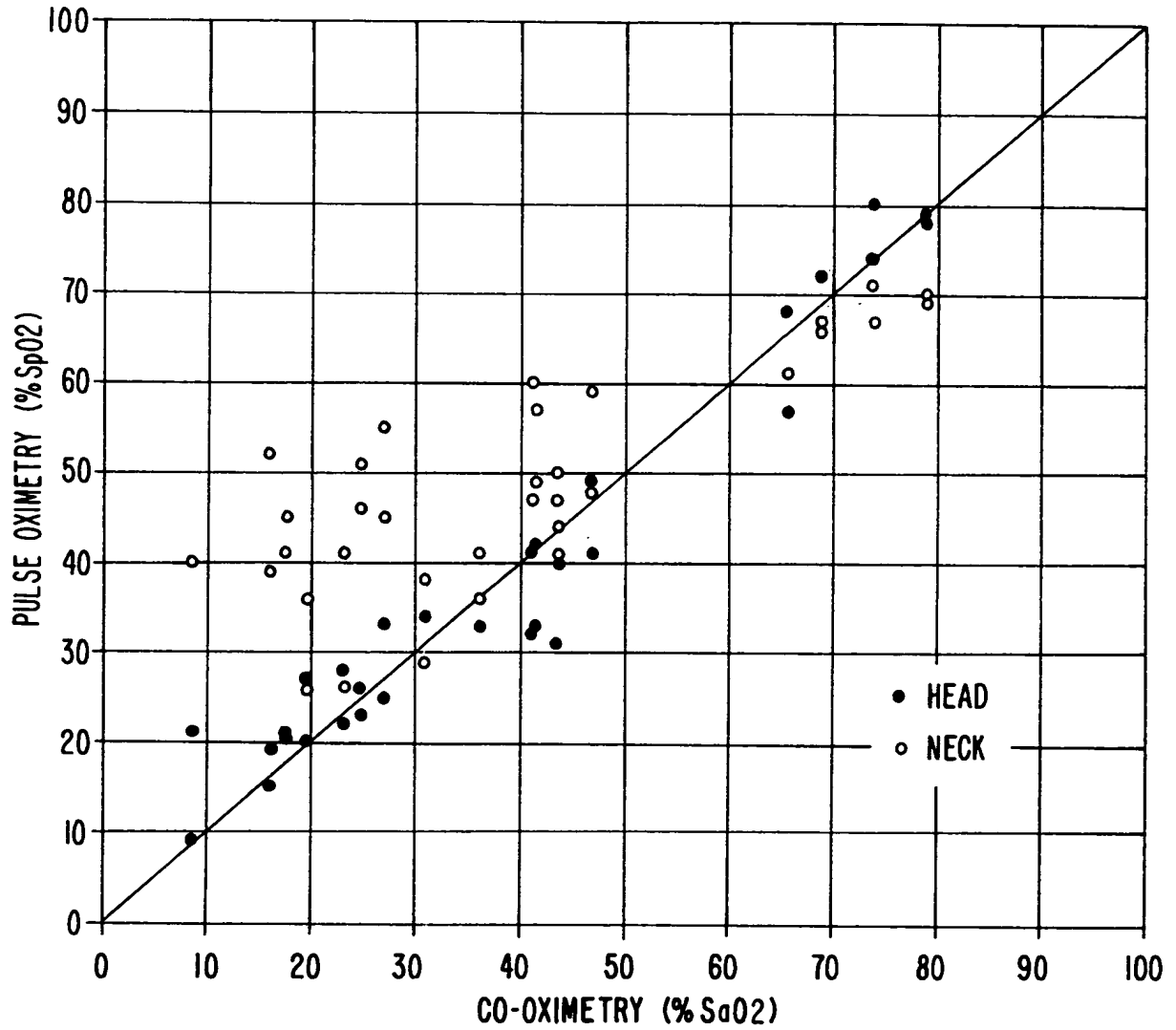


FIG. 19.

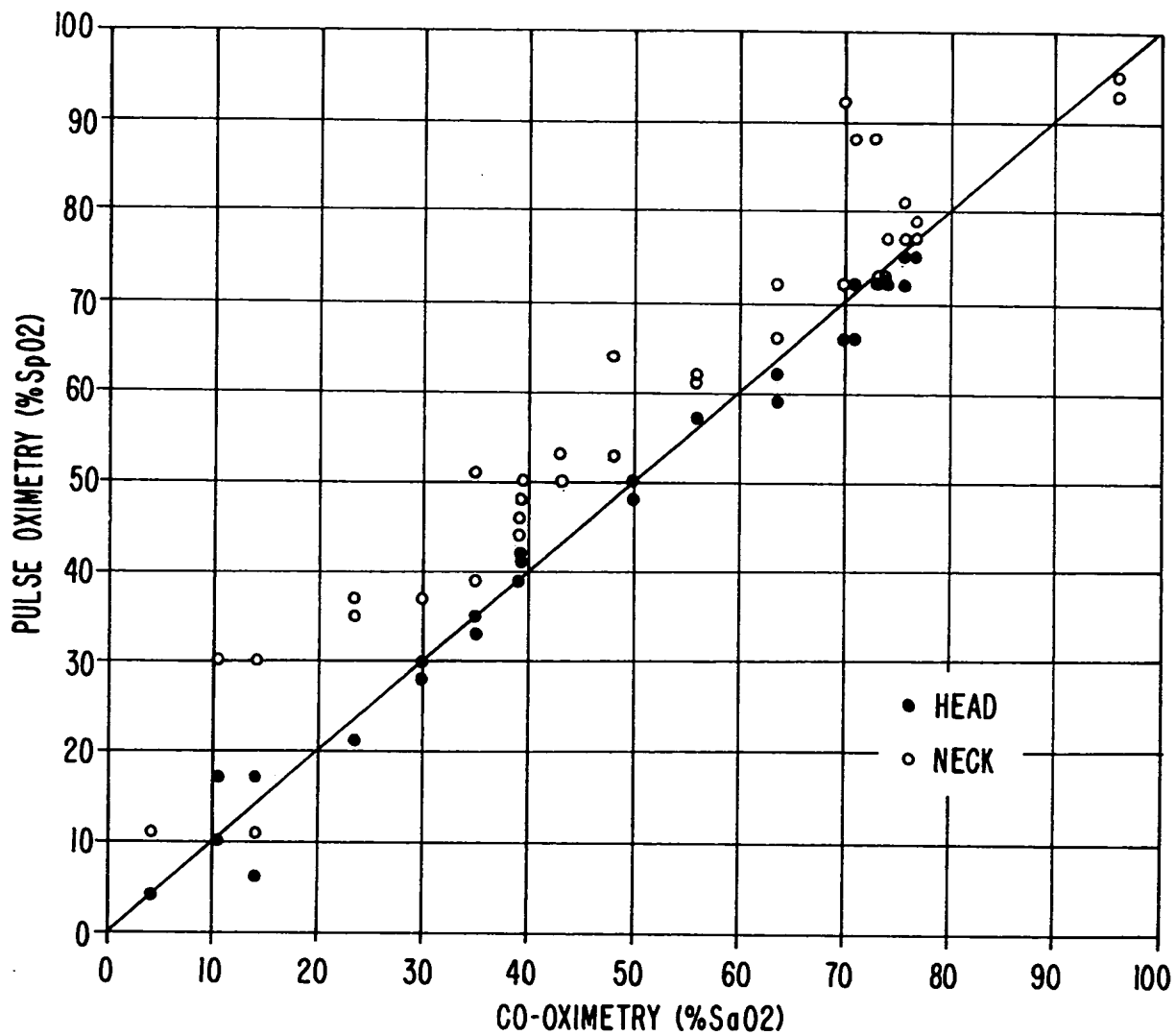


FIG. 20.

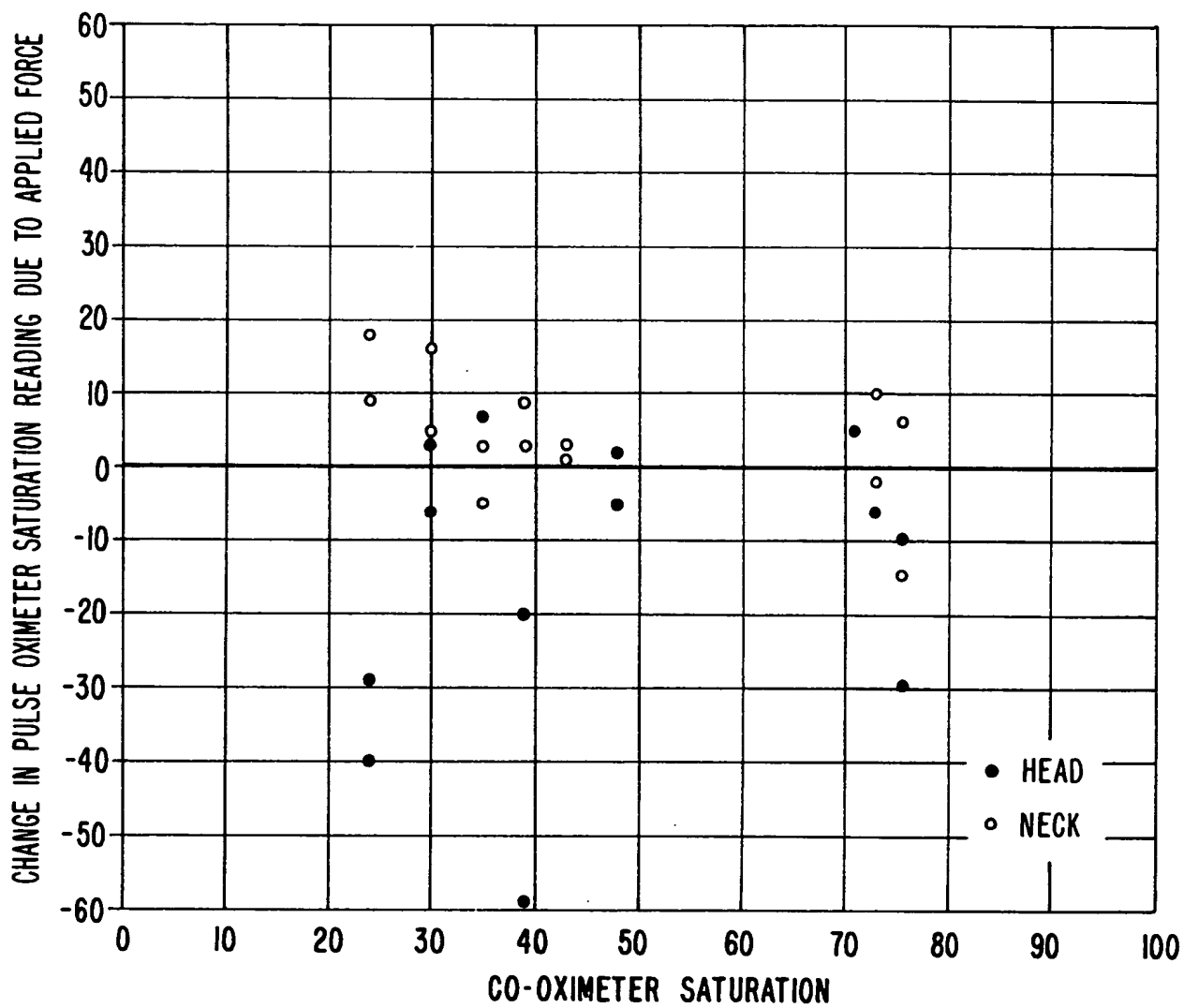


FIG. 21.

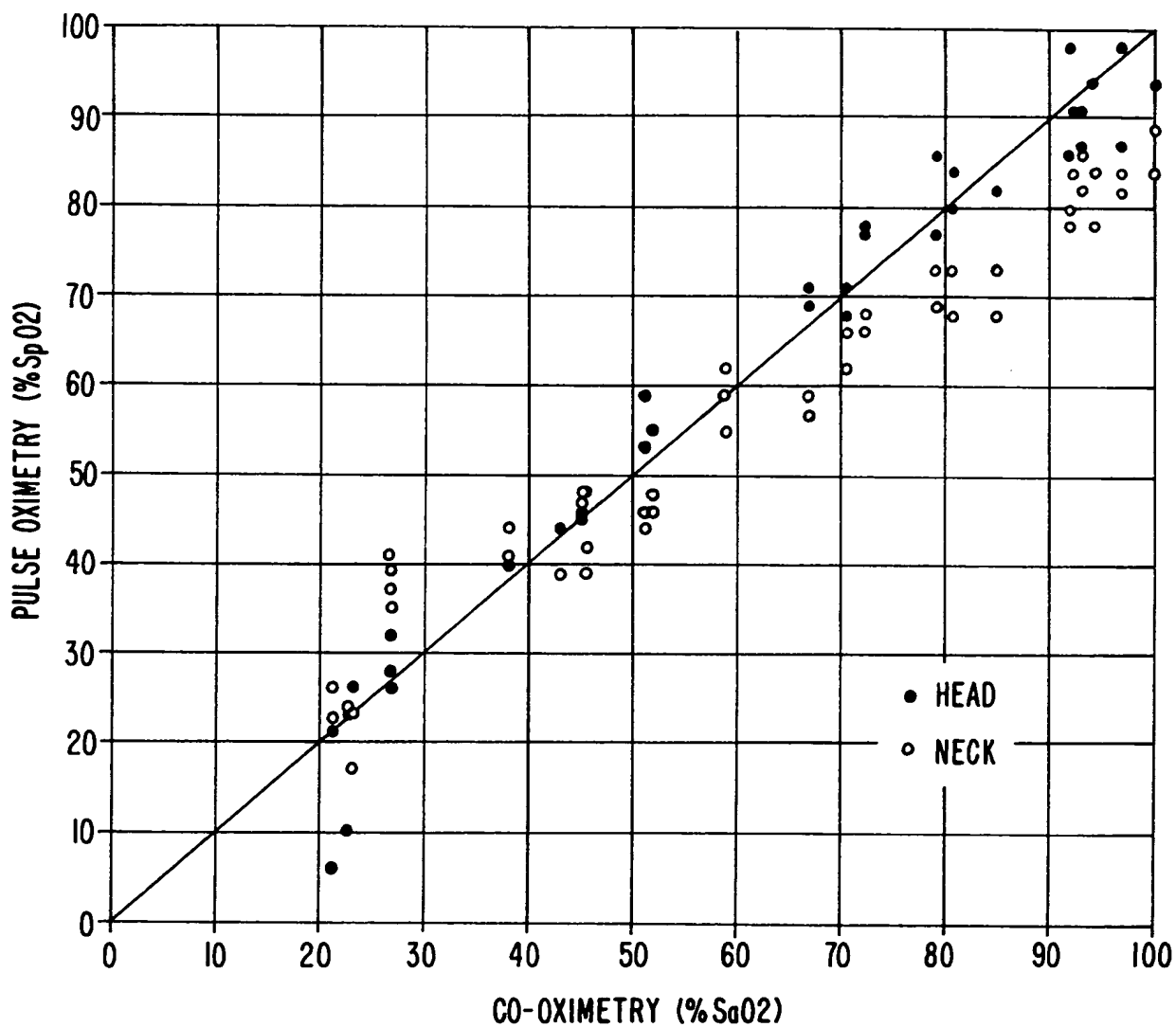


FIG. 22.

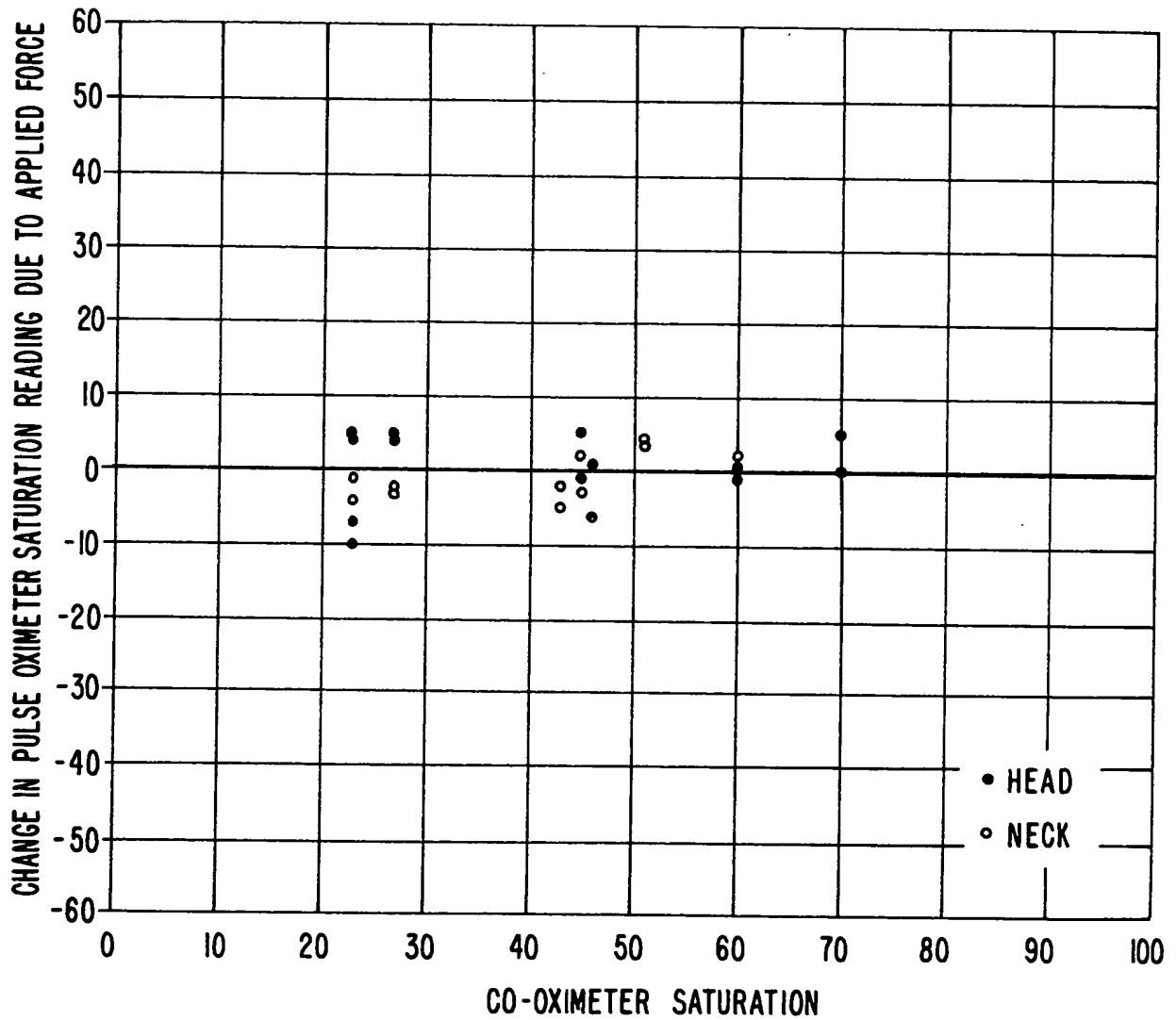


FIG. 23.

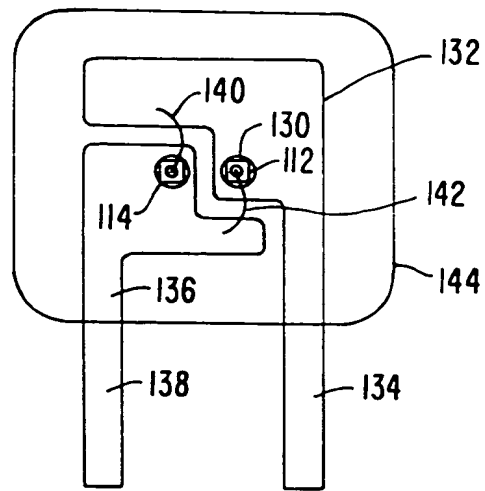


FIG. 26A.

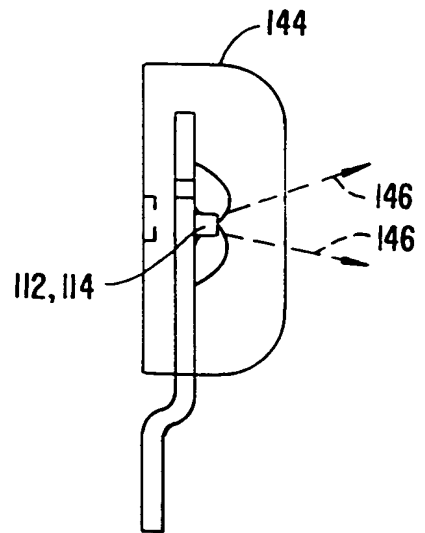


FIG. 26B.

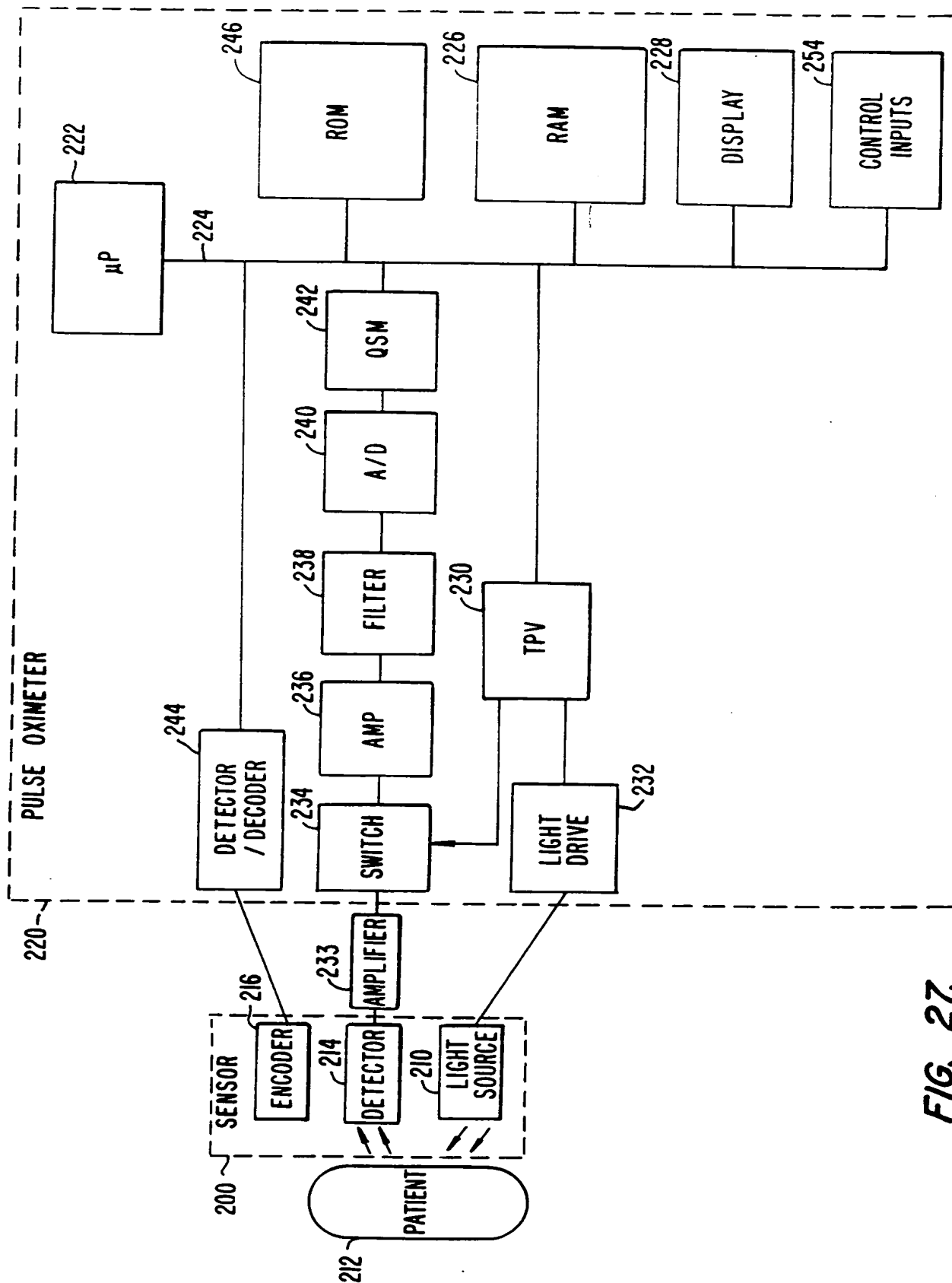


FIG. 27.